

大阪大学工学部 正員 福原 輝幸
大阪大学工学部 正員 室田 明

1.はじめに：河川改修工事が進展する今日でもなお、高水敷では水辺植物が群落状態で繁茂しているのをよく見かける。このような高水敷での抵抗係数は一般に複断面不等流計算によって間接的に決定されるために、抵抗係数に含まれる誤差も大きいと予想される。従って植生状態の違いやその季節的変化に伴う抵抗係数の変化の様子についても何らわからっていない。そこで本研究は比較的背が高く、かつ屈撓性のある水辺植物（例えばヨシ）を対象とし、その抵抗特性を直接的に調べて、植物群落特有の抵抗特性を理解しようとするものである。

2.実験条件：実験に用いた水路および模擬植物の詳細については参考文献[1]を参照されたい。植生状態を図-1、図-2に、水理条件を表-1にそれぞれ示す。なお密生度Cは次式で定義される。 $C = \frac{\pi}{4} \phi^2 N / BL$ (1)
B: 水路幅, L: 群落長, N: 植物の本数, ϕ : 植物の直径, k: 平均屈撓高さ, l_0 : 植物の長さ。

3.抵抗特性：(抵抗係数と相対水深の関係)水位の変化により、模擬植物の状態は図-3のように変化する。増水期には(a)→(b)→(c)のように、減水期では(c)→(d)→(e)のように屈撓する。まず、同じレイノルズ数Reであっても(a), (e)の2つの状態が存在することから、これらの状態における抵抗係数 f と Re の関係を調べてみた。結果の一例が図-4であり、(e)の状態で相対的に f は増大する。(a)の状態の f を f_a , (e)の状態の f を f_e として両者の比 $d_i (= f_e / f_a)$ と密生度Cとの関係を示したのが図-5である。今回の実験範囲では密生度に関係なく f_e は f_a の約1.2倍程度大きくなっている。この原因としては、(e)の状態では形状抵抗に加えて水表面での植物の屈撓性に伴う摩擦抵抗が作用するためと考えられる。事実、(e)では図-6のように水表面近くでは明確な速度欠損が生じている。また、実河川を想定した場合、上述の結果は増水期よりも減水期で抵抗係数が

表-1 水理条件

C($\times 10^4$)	S($\times 10^3$)	q(cm^2/sec)
9.05	0.5	1.1
	1.0	
	3.0	
	6.0	
	10.0	
4.52	1.0	1.1
	6.0	
	10.0	
2.26	1.0	306.0
	6.0	
	10.0	
1.13	1.0	306.0
	6.0	
	10.0	
0.56	1.0	306.0
	6.0	
	10.0	

次に、 f と h/k の関係を図-7に示す。 f は h/k に反比例して増加する傾向にあり、神田らの粒状粗度による結果²⁾ ($h/k=1.0$ で f は最大となる。)とは異なる。この点についてもう少し検討する。同じ $h/k=1.0$ であっても図-3のように屈撓状態には違いがあり、(b)や(d)のように植物の先端部分が水面と点で接した状態から、(e)のように两者が線で接する状態まで植物は変形する。そこで $h/k=1.0$ のケースについてのみ、 f を植物の変形を表わすパラメータ l_0/k で整理してみた。その結果が図-8であり、 f は l_0/k の増大とともに大きくなると同時に、密生度が高くなるにしたがい l_0/k に無関係に $f=一定$ となる部分が認められる。

この領域は $1.0 \leq l_0/k \leq 3.5$ である。一方画像解析からは、(d)は $l_0/k \approx 1.0$ に、(e)は $l_0/k \gtrsim 3.0$ に対応しており、 f に及ぼす屈撓状態(摩擦・形状抵抗)

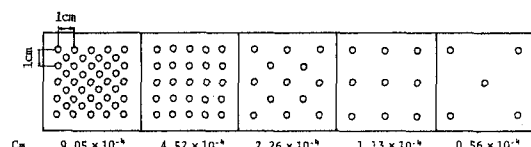


図-3 水位変化に伴う模擬植物の変形状態

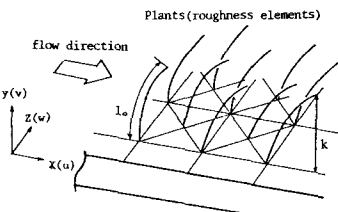


図-1 水路の概要

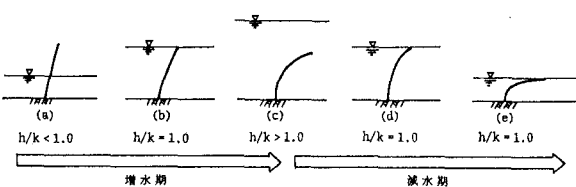


図-3 水位変化に伴う模擬植物の変形状態

変化)の影響の大きいことが知り得る。< f と Re の関係 > : 密生度 C を変化させて f と Re の関係を調べてみた。その結果が図-9である。ただし同図は $h/k > 1.0$ のケースについてのみの結果であり、次のことがわかる。(i) 密生度に関係なく f と Re の間に $S=1.0 \times 10^{-3}$ の場合は層流・遷移・乱流域の3つの領域が存在する。(ii) 層流域から乱流域へ変化する限界 Re , Re_{c1} は C の減少に従い増大する。 $(Re_{c1}=200 : C=9.05 \times 10^{-4} \rightarrow Re_{c1}=1800 : C=0.56 \times 10^{-4})$ (iii) 遷移域から乱流域への限界 Re , Re_{c2} は密生度に無関係に $Re_{c2}=3000$ となる。(iv) 乱流域では $f = a/Re^{m_2}$ (2) が成立し、直線の傾きを表わす m_2 は C の低下とともに減少し、滑面での値 ($m_2=0.25$) に漸近する。回帰分析より定数 a と m_2 は C とともに次のように変化する。 $a = 0.223 + 6.91 \times 10^{-6} C^{2.68}$ (3), $m_2 = 0.25 + 14.5 C^{-0.246}$ (4)

< 抵抗係数と水路勾配 S との関係 > : $Re \gtrsim 3000$ では f は S に無関係であるが、 $Re \lesssim 3000$ では f は S の増大に伴って減少することがわかる。そこで図-10の $S=1.0 \times 10^{-3}$ での平坦部分の f を f_1 , $S=10 \times 10^{-3}$ に対する f を f_{10} として、両者の比 $d_2 (= f_1/f_{10})$ と C の関係を示したのが図-11である。 f に及ぼす S の効果は C の減少に従って徐々に不明瞭となる。

<参考文献>

1) 室田・福原・佐藤：昭和58年度関西支部年講概要II-57

2) 神田・土井：第25回水理講演会論文集，1981.

<注> 粗度要素： $\phi=0.024\text{ cm}$, $l_o=6.8\text{ cm}$ の合成樹脂製

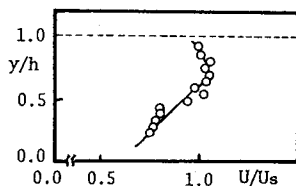


図-6 流速分布

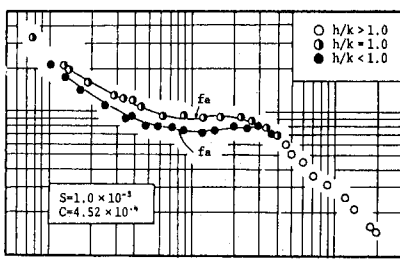


図-4 増水期と減水期での抵抗則

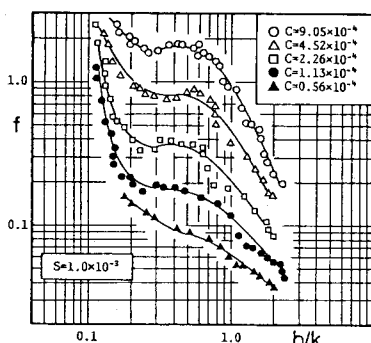


図-7 f と h/k の関係

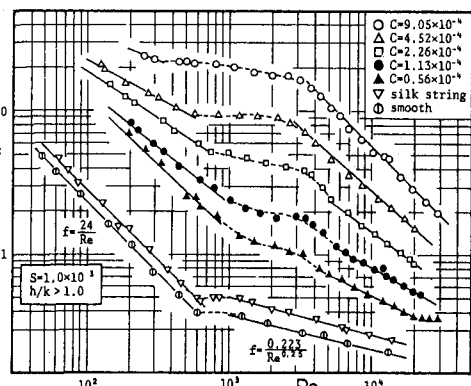


図-9 f と Re の関係

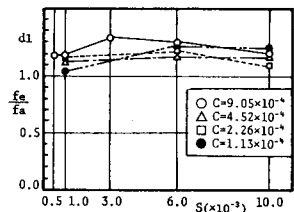


図-5 d_2 と S の関係

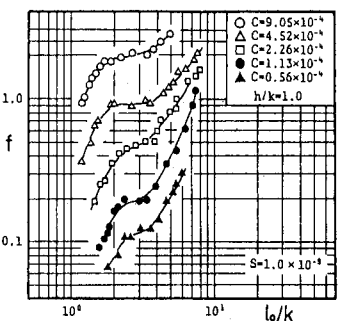


図-8 f と l_o/k の関係

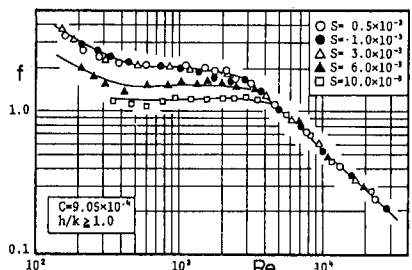


図-10 路床勾配による f の変化

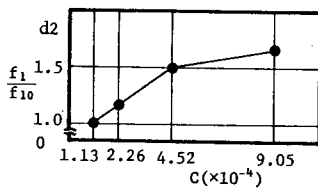


図-11 d_2 と C の関係